



DE LA RECHERCHE À L'INDUSTRIE

# Schémas implicites semi-lagrangiens pour la dynamique des gaz compressibles en dimension 1

SMAI | Alexiane PLESSIER, Stéphane DEL PINO, Bruno DESPRÉS | Juin 2021

Commissariat à l'énergie atomique et aux énergies alternatives – [www.cea.fr](http://www.cea.fr)

- 1 Présentation
  - Sujet
  - Problèmes rencontrés
  - Objectifs
  - Équations d'Euler
- 2 Schémas
  - Schémas de type prédiction-correction
  - 3 schémas implicites différents
- 3 Outil technique important
  - Formalisation
  - Outil technique
  - Étapes clés de la démonstration
- 4 Equations d'Euler
  - Application aux équations d'Euler
  - Propriétés du schéma implicite
  - Résultats numériques
- 5 Conclusion

- Modéliser et simuler les interactions fluide-structure. Par exemple la résistance d'un pont face au vent, la circulation sanguine dans les artères, la portance d'un avion...
- En dynamique rapide, on représente la partie fluide compressible à l'aide des équations d'Euler

$$\begin{cases} \partial_t \rho + \partial_x(\rho u) = 0, \\ \partial_t(\rho u) + \partial_x(\rho u^2 + p) = 0, \\ \partial_t(\rho E) + \partial_x((\rho E + p)u) = 0. \end{cases}$$

- En dynamique des chocs, on utilise principalement des schémas explicites, soumis à une CFL.

$$\text{CFL} : c \frac{\Delta t}{\Delta x} \leq 1.$$

- CFL dans le cas d'une structure solide fine

$$\left. \begin{array}{l} \Delta x \rightarrow 0 \\ \text{vitesse du son } c \gg 1 \end{array} \right\} \Rightarrow \Delta t \text{ très petit.}$$

## Stratégie générale :

- Développer un schéma implicite Lagrangien pour la partie fluide [1]
- Généraliser le schéma au cas des structures élasto-plastique fines [7], [8]
- Coupler le schéma implicite pour la partie solide élastique avec le schéma fluide (explicite et/ou implicite)

## Focus de la présentation :

- Utiliser un formalisme Lagrangien (*i.e.* le maillage se déforme selon le fluide)
- Développer un schéma implicite volumes finis, stable au sens de l'entropie

---

. [1] C.Marmignon, C. Chalons, F. Coquel. Time Implicit Approximation of the Multipressure Gas Dynamics Equations in Several Time Space Dimensions. SIAM, 48 :1678-106, 2010.

. [7] G. Kluth, B. Després. Discretization of Hyperelasticity on Unstructured Mesh with a Cell-centered Lagrangian Scheme. Journal of Computational Physics, 2010.

. [8] P.-H. Maire, R. Abgrall, J. Breil, R. Loubère, B. Rebourec. A Nominally Second-Order Cell-Centered Lagrangian Scheme for Simulating Elastic-Plastic Flows on Two-Dimensional Unstructured Grids. Journal Of Computational Physics, 2013

- Eulérien :

$$\left\{ \begin{array}{l} \partial_t \rho + \partial_x(\rho u) = 0, \\ \partial_t(\rho u) + \partial_x(\rho u^2 + p) = 0, \\ \partial_t(\rho E) + \partial_x((\rho E + p)u) = 0. \end{array} \right. + \begin{array}{l} \text{entropie} \\ \\ \partial_t(\rho S) + \partial_x(\rho S u) \geq 0. \end{array}$$

- Lagrangien :  $D_t := \partial_t + u\partial_x$  où  $u$  est la vitesse du fluide.

$$(1) \quad \left\{ \begin{array}{l} \rho D_t \tau - \partial_x u = 0, \\ \rho D_t u + \partial_x p = 0, \\ \rho D_t E + \partial_x(pu) = 0. \end{array} \right. + \begin{array}{l} \text{entropie} \\ \\ \rho D_t S \geq 0. \end{array}$$

Méthode :

- Phase de prédiction : schéma implicite Lagrangien pour les équations d'Euler isentropiques [1]

$$(2) \quad \begin{cases} \rho D_t \tau - \partial_x u = 0, \\ \rho D_t u + \partial_x p = 0, \\ \rho D_t S = 0. \end{cases} + \begin{cases} \text{entropie} \\ \rho D_t E + \partial_x (pu) \leq 0. \end{cases}$$

- Phase de correction : retour aux équations d'Euler (1), conservation de l'énergie totale  $E$  restaurée, et inégalité d'entropie sur  $S$

---

[1] C.Marmignon, C. Chalons, F. Coquel. Time Implicit Approximation of the Multipressure Gas Dynamics Equations in Several Time Space Dimensions. SIAM, 48 :1678-106, 2010.

- Adaptation du schéma Eulérien relaxé de [1]

$$\begin{cases} \bar{\tau}_j = \tau_j^n + \nu_j(\overline{u_{j+\frac{1}{2}}} - \overline{u_{j-\frac{1}{2}}}), \\ \bar{u}_j = u_j^n + \nu_j(\overline{\Pi_{j-\frac{1}{2}}} - \overline{\Pi_{j-\frac{1}{2}}}), \\ \bar{\Pi}_j = \Pi_j^n - \nu_j a^2(\overline{u_{j+\frac{1}{2}}} - \overline{u_{j-\frac{1}{2}}}) \\ \quad + \nu_j \lambda \rho_j^n (\rho_j^n - \overline{\Pi}_j), \\ \bar{S}_j = S_j^n. \end{cases}$$

$$\overline{\Pi}_j - \overline{\Pi_{j+\frac{1}{2}}} = (\rho c)_j^n (\overline{u_{j+\frac{1}{2}}} - \bar{u}_j), \quad \overline{\Pi}_j - \overline{\Pi_{j-\frac{1}{2}}} = (\rho c)_j^n (\bar{u}_j - \overline{u_{j-\frac{1}{2}}}).$$

- Analyse théorique incomplète (inégalité d'entropie [9])
- Constatation que  $\Delta t$  ne peut pas être pris très grand

. [1] C.Marmignon, C. Chalons, F. Coquel. Time Implicit Approximation of the Multipressure Gas Dynamics Equations in Several Time Space Dimensions. SIAM, 48 :1678-106, 2010.

. [9] N. Seguin, F. Coquel, E. Godlewski. Approximation par relaxation de systèmes hyperboliques, Séminaire d'analyse appliquée, 2008

- Linéarisation de  $\tau$  ( $c^2 = -\frac{1}{\rho^2} \partial_\tau p$ ) [4]

$$\begin{cases} \bar{p}_j = p_j^n - \frac{\nu_j}{(\rho_j^n c_j^n)^2} (\overline{u_{j+\frac{1}{2}}} - \overline{u_{j-\frac{1}{2}}}), \\ \bar{u}_j = u_j^n + \nu_j (\overline{p_{j-\frac{1}{2}}} - \overline{p_{j+\frac{1}{2}}}), \\ \bar{S}_j = S_j^n \end{cases}$$

$$\bar{p}_j - \overline{p_{j+\frac{1}{2}}} = \alpha_{j+\frac{1}{2}}^n (\overline{u_{j+\frac{1}{2}}} - \bar{u}_j), \quad \bar{p}_j - \overline{p_{j-\frac{1}{2}}} = \alpha_{j-\frac{1}{2}}^n (\bar{u}_j - \overline{u_{j-\frac{1}{2}}}).$$

- Incapable de prouver la stabilité entropique
- Observation de la non stabilité pour les grands pas de temps

---

. [4] B. Després, Numerical Methods for Eulerian and Lagrangian Conservation Laws, Birkhäuser Basel, 2017

- Conserver la structure de (2)

$$\begin{cases} \overline{\tau}_j = \tau_j^n + \nu_j(\overline{u}_{j+\frac{1}{2}} - \overline{u}_{j-\frac{1}{2}}), \\ \overline{u}_j = u_j^n + \nu_j(\overline{p}_{j-\frac{1}{2}} - \overline{p}_{j+\frac{1}{2}}), \\ \overline{S}_j = S_j^n. \end{cases}$$

$$\overline{p}_j - \overline{p}_{j+\frac{1}{2}} = \alpha_{j+\frac{1}{2}}^n (\overline{u}_{j+\frac{1}{2}} - \overline{u}_j), \quad \overline{p}_j - \overline{p}_{j-\frac{1}{2}} = \alpha_{j-\frac{1}{2}}^n (\overline{u}_j - \overline{u}_{j-\frac{1}{2}}).$$

- Analyse théorique, et preuve de l'existence et de l'unicité (schéma bien défini)
- Stabilité inconditionnelle (selon les conditions au bord)

- Restaurer la conservation de l'énergie totale  $E$

Schéma relaxé

$$\begin{cases} \tau_j^{n+1} = \tau_j^n + \nu_j(\overline{u_{j+\frac{1}{2}}} - \overline{u_{j-\frac{1}{2}}}), \\ u_j^{n+1} = u_j^n + \nu_j(\overline{\Pi_{j-\frac{1}{2}}} - \overline{\Pi_{j+\frac{1}{2}}}), \\ E_j^{n+1} = E_j^n - \nu_j(\overline{\Pi_{j+\frac{1}{2}} \overline{u_{j+\frac{1}{2}}}} - \overline{\Pi_{j-\frac{1}{2}} \overline{u_{j-\frac{1}{2}}}}) \end{cases}$$

$$\overline{\Pi_j} - \overline{\Pi_{j+\frac{1}{2}}} = (\rho c)_j^n (\overline{u_{j+\frac{1}{2}}} - \overline{u_j}),$$

$$\overline{\Pi_j} - \overline{\Pi_{j-\frac{1}{2}}} = (\rho c)_j^n (\overline{u_j} - \overline{u_{j-\frac{1}{2}}}).$$

Schéma linéarisé et non linéaire

$$\begin{cases} \tau_j^{n+1} = \tau_j^n + \nu_j(\overline{u_{j+\frac{1}{2}}} - \overline{u_{j-\frac{1}{2}}}), \\ u_j^{n+1} = u_j^n + \nu_j(\overline{p_{j-\frac{1}{2}}} - \overline{p_{j+\frac{1}{2}}}), \\ E_j^{n+1} = E_j^n - \nu_j(\overline{p_{j+\frac{1}{2}} \overline{u_{j+\frac{1}{2}}}} - \overline{p_{j-\frac{1}{2}} \overline{u_{j-\frac{1}{2}}}}) \end{cases}$$

$$\overline{p_j} - \overline{p_{j+\frac{1}{2}}} = \alpha_{j+\frac{1}{2}}^n (\overline{u_{j+\frac{1}{2}}} - \overline{u_j}),$$

$$\overline{p_j} - \overline{p_{j-\frac{1}{2}}} = \alpha_{j-\frac{1}{2}}^n (\overline{u_j} - \overline{u_{j-\frac{1}{2}}}).$$

Pour tout  $j \in \mathcal{M}$ , où  $\mathcal{M}$  est un maillage contenant  $N$  cellules, on a

$$\begin{cases} \overline{\tau}_j = \tau_j^n + \nu_j(\overline{u}_{j+\frac{1}{2}} - \overline{u}_{j-\frac{1}{2}}), \\ \overline{u}_j = u_j^n + \nu_j(\overline{p}_{j-\frac{1}{2}} - \overline{p}_{j+\frac{1}{2}}), \\ \overline{S}_j = S_j^n. \end{cases}$$

$$\overline{p}_j - \overline{p}_{j+\frac{1}{2}} = \alpha_{j+\frac{1}{2}}^n (\overline{u}_{j+\frac{1}{2}} - \overline{u}_j), \quad \overline{p}_j - \overline{p}_{j-\frac{1}{2}} = \alpha_{j-\frac{1}{2}}^n (\overline{u}_j - \overline{u}_{j-\frac{1}{2}}).$$

$$\frac{2M_j}{\Delta t} (\overline{\tau}_j - \tau_j^n) + \frac{1}{\alpha_{j+\frac{1}{2}}} (\overline{p}_{j+1} - \overline{p}_j) + \frac{1}{\alpha_{j-\frac{1}{2}}} (\overline{p}_{j-1} - \overline{p}_j) = \overline{u}_{j+1} - \overline{u}_{j-1},$$

$$\frac{2M_j}{\Delta t} (\overline{u}_j - u_j^n) + \alpha_{j+\frac{1}{2}} (\overline{u}_j - \overline{u}_{j+1}) + \alpha_{j-\frac{1}{2}} (\overline{u}_j - \overline{u}_{j-1}) = \overline{p}_{j-1} - \overline{p}_{j+1}.$$

$$\nabla J(U)$$

$$= AU$$

$$J : ]-\infty, 0[{}^N \times \mathbb{R}^N \rightarrow \mathbb{R}, U = ((-\overline{p}_j)_{j \in \mathcal{M}}, (\overline{u}_j)_{j \in \mathcal{M}}) \in \mathbb{R}^N \times \mathbb{R}^N, A \in \mathbb{R}^{2N \times 2N}.$$

On peut mettre la phase de prédiction du schéma 3 sous la forme

$$\nabla J(U) = AU,$$

- (H1) Le domaine est  $\mathcal{D} \subset \mathbb{R}^n \times \mathbb{R}^m$ . C'est un domaine ouvert convexe :  $\mathcal{D} = ]-\infty, 0[ \times \mathbb{R}^m$ , où  $n > 0$  et  $m \geq 0$  sont deux entiers. Son bord est  $\partial\mathcal{D} = \{V \in \mathbb{R}^{n+m} : \exists j^* \in \{1, \dots, n\} V_{j^*} = 0, \forall j \neq j^* \in \{1, \dots, n\}, V_j \leq 0\}$ .
- (H2) La fonction  $J : U \in \mathcal{D} \rightarrow J(U) \in \mathbb{R}$  est  $\mathcal{C}^2$ , strictement convexe et coercive. De plus, pour tout  $V \in \partial\mathcal{D}$  il existe une direction unitaire sortante  $d \in \mathbb{R}^{n+m}$  telle que  $(\nabla J(V - \varepsilon d), d) \xrightarrow[V - \varepsilon d \in \mathcal{D}]{\varepsilon \rightarrow 0^+} +\infty$ . Également, pour tout  $V \in \partial\mathcal{D}$ , on a  $\|\nabla J(W)\| \xrightarrow[W \in \mathcal{D}]{W \rightarrow V} +\infty$ .
- (H3) La matrice  $A \in \mathcal{M}_{n+m}(\mathbb{R})$  est anti-symétrique et satisfait  $\ker(A) \cap \mathcal{D} \neq \emptyset$ .

## Théorème

Sous les hypothèses (H1), (H2) et (H3), le problème

$$\begin{cases} \text{Trouver } U \text{ dans } \mathcal{D} \text{ tel que} \\ \nabla J(U) = AU. \end{cases}$$

possède une unique solution.

- Démontrer l'unicité,
- Démontrer l'existence dans le cas où  $A = 0$ , chercher le minimum de  $J$
- Comme  $J$  est strictement convexe, utiliser le cadre de l'analyse convexe [5], [6],
- Finir la preuve de l'existence en utilisant des résultats sur les équations différentielles ordinaires [2], [3].

- 
- . [5] J.-B. Hirriart-Urruty, Optimisation et Analyse Convexe, EDP Sciences, 1998.
  - . [6] J.-B. Hirriart-Urruty, C. Lemaréchal, Fundamentals of Convex Analysis, Springer-Verlag, 2004.
  - . [2] E. Coddington, N. Levinson, Theory of Ordinary Differential Equations, Tata McGraw-Hill Education, 1955.
  - . [3] J.-P. Demailly, Analyse Numérique et Équations Différentielles - 4<sup>ème</sup> Ed, EDP Sciences, 2016.

$$\nabla J(U) = AU$$

$$J : ]-\infty, 0[ \times \mathbb{R}^N \rightarrow \mathbb{R}, U = ((-\bar{p}_j)_{j \in \mathcal{M}}, (\bar{u}_j)_{j \in \mathcal{M}}) \in \mathbb{R}^N \times \mathbb{R}^N, A \in \mathbb{R}^{2N \times 2N}.$$

$$J(U) = \sum_{j=1}^N \frac{2M_j}{\Delta t} \left[ -C_j \bar{p}_j^{1-\frac{1}{\gamma}} + \tau_j^n \bar{p}_j - u_j^n \bar{u}_j + \frac{\bar{u}_j^2}{2} \right] \\ + \sum_{j=1}^N \frac{1}{\alpha_{j+\frac{1}{2}}} \frac{(\bar{p}_{j+1} - \bar{p}_j)^2}{2} + \alpha_{j+\frac{1}{2}} \frac{(\bar{u}_j - \bar{u}_{j+1})^2}{2},$$

avec  $C_j = \gamma(\gamma - 1)^{-1+\frac{1}{\gamma}} \exp\left(\frac{S_j}{C_v}\right)^{\frac{1}{\gamma}}$  (gaz parfaits).

$$A = \left[ \begin{array}{c|c} 0 & B \\ \hline B & 0 \end{array} \right] \text{ avec } B = \begin{bmatrix} 0 & 1 & 0 & \dots & 0 & -1 \\ -1 & 0 & 1 & 0 & \dots & 0 \\ 0 & \ddots & \ddots & \ddots & \ddots & \vdots \\ \vdots & \ddots & \ddots & \ddots & \ddots & 0 \\ 0 & \dots & 0 & -1 & 0 & 1 \\ 1 & 0 & \dots & 0 & -1 & 0 \end{bmatrix}.$$

Phase de prédiction :

- Le schéma est conservatif (masse, impulsion, entropie)

$$\bar{S}_j = S_j^n.$$

- Il existe une unique solution  $((\bar{\tau}_j)_{j \in \mathcal{M}}, (\bar{u}_j)_{j \in \mathcal{M}}, (\bar{S}_j)_{j \in \mathcal{M}})$ .
- Le schéma satisfait une inégalité d'entropie non triviale

$$\frac{\bar{E}_j - E_j^n}{\Delta t} + \frac{(\bar{\rho u})_{j+\frac{1}{2}} - (\bar{\rho u})_{j-\frac{1}{2}}}{\Delta m} \leq 0,$$

$$(\bar{\rho u})_{j+\frac{1}{2}} = \bar{\rho}_{j+\frac{1}{2}} \bar{u}_{j+\frac{1}{2}}.$$

Phase de correction :

- Le schéma est conservatif (masse, impulsion, énergie totale)

$$\frac{E_j^{n+1} - E_j^n}{\Delta t} + \frac{(\bar{\rho u})_{j+\frac{1}{2}} - (\bar{\rho u})_{j-\frac{1}{2}}}{\Delta m} = 0,$$

- Le schéma satisfait la croissance de l'entropie physique  $S$ .

$$\frac{S_j^{n+1} - S_j^n}{\Delta t} \geq 0.$$

■ Phase de prédiction :  $r^n := \frac{\bar{E}_j - E_j^n}{\Delta t} + \frac{(\bar{p}\bar{u})_{j+\frac{1}{2}} - (\bar{p}\bar{u})_{j-\frac{1}{2}}}{\Delta m} \leq 0, \quad \bar{S}_j = S_j^n.$

■ Phase de correction :  $\frac{E_j^{n+1} - E_j^n}{\Delta t} = - \frac{((\bar{p}\bar{u})_{j+\frac{1}{2}} - (\bar{p}\bar{u})_{j-\frac{1}{2}})}{\Delta m}.$

$$\begin{aligned} \frac{E_j^{n+1} - \bar{E}_j}{\Delta t} &= \frac{E_j^{n+1} - E_j^n + E_j^n - \bar{E}_j}{\Delta t} \\ &= - \frac{((\bar{p}\bar{u})_{j+\frac{1}{2}} - (\bar{p}\bar{u})_{j-\frac{1}{2}})}{\Delta m} - r^n + \frac{((\bar{p}\bar{u})_{j+\frac{1}{2}} - (\bar{p}\bar{u})_{j-\frac{1}{2}})}{\Delta m} \\ &= -r^n \geq 0. \end{aligned}$$

■ Comme  $u^{n+1} = \bar{u}$  et  $de = dE - udu$ , alors

$$\frac{e_j^{n+1} - \bar{e}_j}{\Delta t} = -r^n \geq 0.$$

■ On évalue la variation de  $S$

$$\frac{S_j^{n+1} - S_j^n}{\Delta t} = \frac{S_j^{n+1} - \bar{S}_j}{\Delta t} + \frac{\bar{S}_j - S_j^n}{\Delta t} = \frac{S_j^{n+1} - \bar{S}_j}{\Delta t}.$$

D'après la relation de Gibbs  $TdS = de + pd\tau$ , or  $\tau^{n+1} = \bar{\tau}$ , donc  $S(e, \rho) = S(\bar{e}, \bar{\rho})$  et on trouve

$$\frac{S_j^{n+1} - S_j^n}{\Delta t} = \frac{S(e_j^{n+1}, \bar{\rho}_j) - S(\bar{e}_j, \bar{\rho}_j)}{\Delta t} \geq 0.$$

## Schémas :

- explicite : Solveur acoustique lagrangien
- implicite : Schéma 1 (prédiction relaxée)  
Schéma 2 (prédiction linéarisée)  
Schéma 3 (prédiction non linéaire)

## Comparaisons :

- précision, avec le même pas de temps pour les 4 schémas,
- robustesse, avec des pas de temps de plus en plus grands en implicite.
- différentes conditions au bord

## Cas test :

- Tube à choc de Sod
- Tube à choc de Sod avec rebond
- Autres

## ■ Conditions initiales

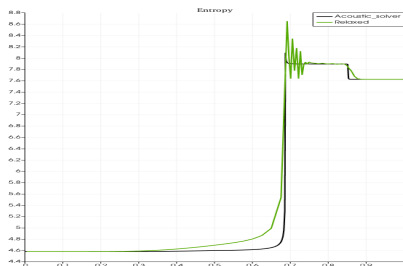
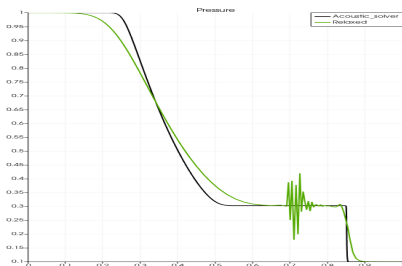
$$\rho_0(x) = \begin{cases} 1 & x < 0.5 \\ 0.1 & x \geq 0.5 \end{cases}, \quad \rho_0(x) = \begin{cases} 1 & x < 0.5 \\ 0.125 & x \geq 0.5 \end{cases}, \quad u_0(x) = 0.$$

## ■ Conditions au bord

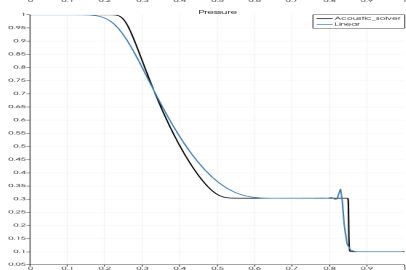
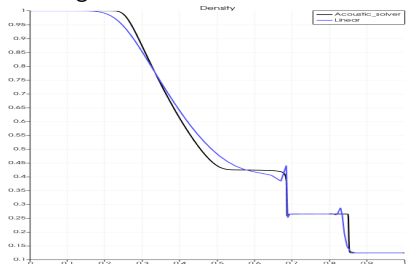
- vitesse :  $u_{left} = 0$ ,  $u_{right} = 0$ .
- pression :  $p_{left} = 1$ ,  $p_{right} = 0.1$ .
- mixtes :  $u_{left} = 0$ ,  $p_{right} = 0.1$ .

■ Temps final : 0.2,  $\gamma = 1.4$

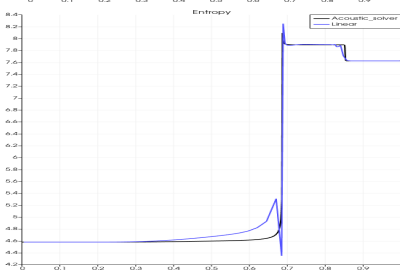
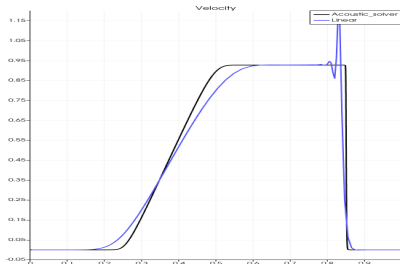
Maillage de 100 mailles, CFL=1.31.



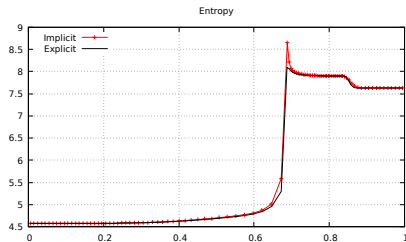
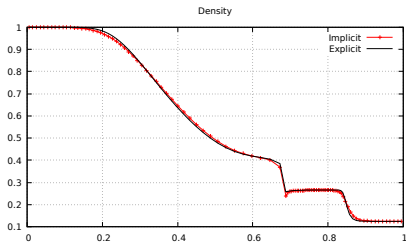
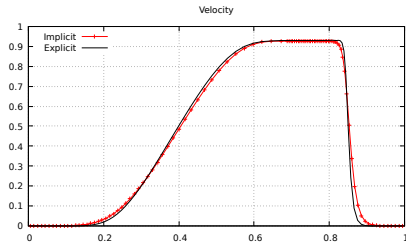
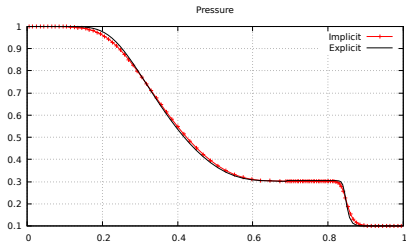
Maillage de 100 mailles, CFL= 1.52.



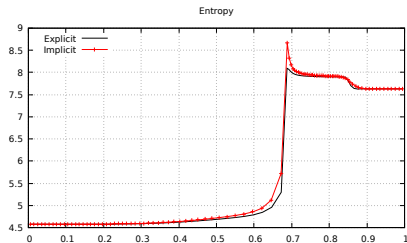
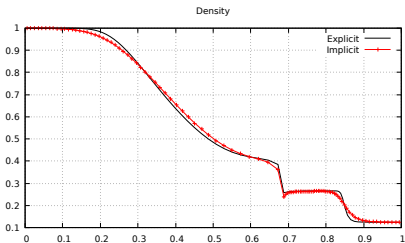
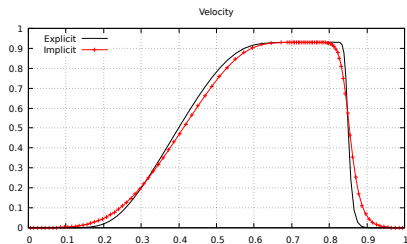
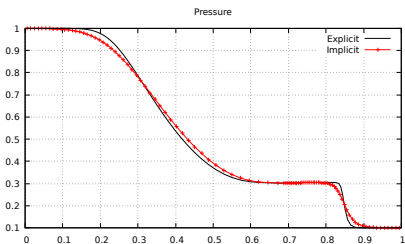
Crash pour CFL = 1.6.



100 cells, for a same CFL=0.4 ( $dt = 1.49 \cdot 10^{-3}$ ).

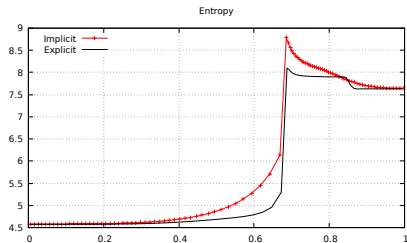
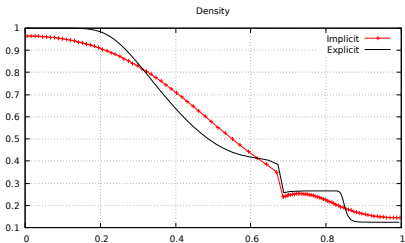
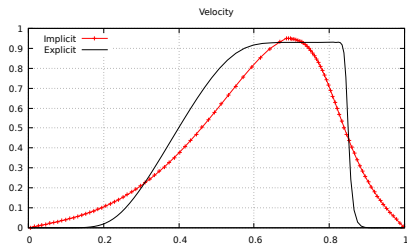
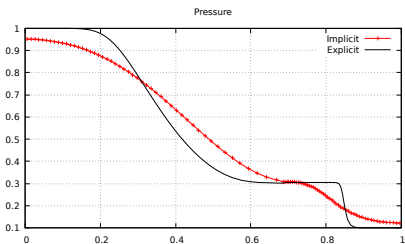


Maillage de 100 mailles, CFL=4.  
Newton : 3 - 5 itérations



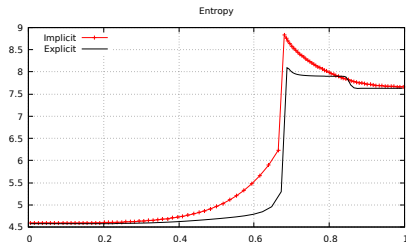
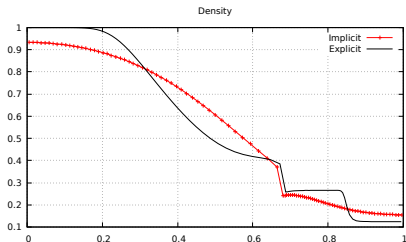
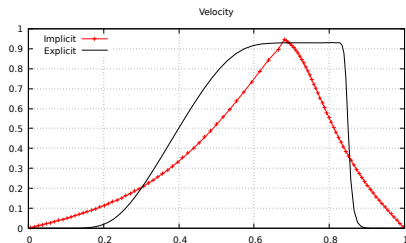
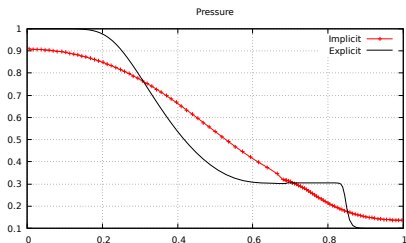
Maillage de 100 mailles, CFL=40.

Newton : 4 - 5 itérations



Maillage de 100 mailles, CFL=80.

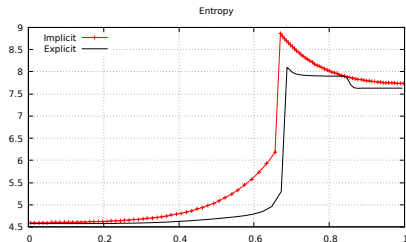
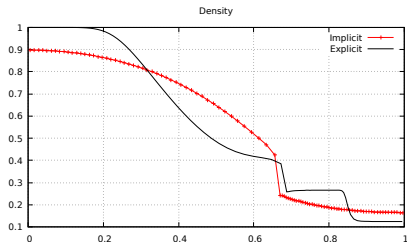
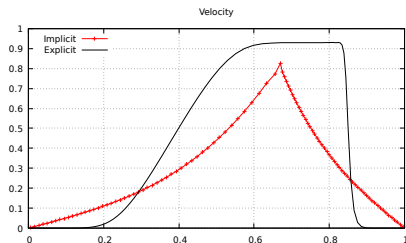
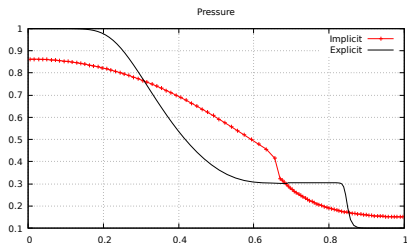
Newton : 4 - 6 itérations



On observe un positionnement parfait de la discontinuité de contact.

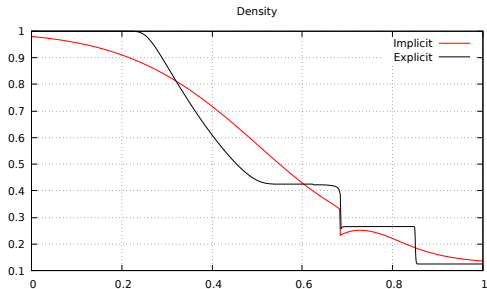
Maillage de 100 mailles,  $CFL_{\max} = 537$ , un seul pas de temps.

Newton : 6 itérations



Robustesse inconditionnelle.

Maillage de 9000 mailles sur le domaine  $[-4, 5]$ ,  $CFL_{max} = 537$ .



Une explication vient de l'analyse du schéma implicite Lagrangien du problème de Riemann.

- Stratégie de schéma prédiction-correction basé sur [1]
- Définition d'un cadre abstrait pour l'analyse de certains schémas implicites
- Preuve de l'existence et l'unicité d'une solution pour le schéma non linéaire de prédiction
- Implémentation et tests sur le schéma implicite pour Euler
- Tests de précision et de robustesse comparés au solveur acoustique explicite [4]
- Article bientôt disponible

#### Perspectives :

- Passer à un flux à deux états
- Étendre au cas multi-D
- Expliquer la convergence rapide du Newton, et la pression qui reste positive
- Essayer de démontrer la croissance de l'entropie grâce à la formulation  $\nabla J(U) = AU$  et à l'analyse convexe

---

. [1] C.Marmignon, C. Chalons, F. Coquel. Time Implicit Approximation of the Multipressure Gas Dynamics Equations in Several Time Space Dimensions. SIAM, 48 :1678-106, 2010.

. [4] B. Després, Numerical Methods for Eulerian and Lagrangian Conservation Laws, Birkhäuser Basel, 2017



Chalons, C., Coquel, F., and Marmignon, C.

Time-Implicit Approximation of the Multipressure Gas Dynamics Equations in Several Space Dimensions.

[SIAM](#), 48 :1678–1706, 2010.



Coddington, E. and Levinson, N.

Theory of Ordinary Differential Equations.

Tata McGraw-Hill Education, 1955.



Demailly, J.-P.

Analyse Numérique et Equations Différentielles-4ème Ed.

EDP sciences, 2016.



Després, B.

Numerical Methods for Eulerian and Lagrangian Conservation Laws.

Birkhäuser Basel, 2017.



Hirriart-Urruty, J.-B.

Optimisation et Analyse Convexe.

EDP Sciences, 1998.



Hirriart-Urruty, J.-B. and Lemaréchal, C.

Fundamentals of Convex Analysis.

Springer-Verlag, 2004.



Kluth, G. and Després, B.

Discretization of hyperelasticity on unstructured mesh with a cell-centered Lagrangian scheme.

[Journal of Computational Physics](#), 229(24) :9092–9118, 2010.



Maire, P.-H., Abgrall, R., Breil, J., Loubère, R., and Reboucet, B.

A nominally second-order cell-centered Lagrangian scheme for simulating elastic-plastic flows on two-dimensional unstructured grids.

[Journal Of Computational Physics](#), 235 :626–665, 2013.



Seguin, N., Coquel, F., and Godlewski, E.

Approximation par relaxation de systèmes hyperboliques.